

УДК 539.379+518.0 : 537

© 1990

## ТИТАНАТ БАРИЯ КАК НЕ ВПОЛНЕ ПОЛЯРНЫЙ КРИСТАЛЛ

К. Б. Толпиго

Обсуждается вопрос о степени ионности кубического  $\text{BaTiO}_3$  в предположении, что состояние каждого из  $2p$ -электронов кислорода описывается линейными комбинациями соответствующих орбиталей  $\varphi_\alpha$  и функций  $4s$  типа  $\psi_\alpha^\pm$  соседних атомов титана. Радиус состояний последних  $1.3$ , так же как и коэффициент смешивания  $\delta$ , определяется из вариационного принципа — минимума средней энергии электронной подсистемы  $\bar{H}$  на функции, взятой в форме Хартри—Фока. Средние заряды ионов  $\text{Ti}$  и  $\text{O}$  оказываются  $+3.30$  и  $-1.77$ .

В предыдущей работе [1] высокая поляризуемость серебряно-галоидных кристаллов объяснялась тем, что маленький ион  $\text{Ag}^+$  «натягивает на себя» часть отрицательного заряда соседних галоидов и степень этого переноса зависит от внешнего поля  $E$  и взаимного смещения ядер. Подобное явление, как отмечалось нами еще в [2], должно иметь место во всех соединениях, где маленький катион соседствует с большим анионом. С этой точки зрения мы обещали в [1] рассмотреть сегнетоэлектрический кристалл. Этой задаче посвящена настоящая работа.

Кислородный атом со сродством к электрону  $\approx 2.34$  эВ [3] выступает в оксидах как двувалентный ион  $\text{O}^{2-}$ , хотя добавление к  $\text{O}^-$  еще одного электрона требует уже затрат энергии  $8.34$  эВ (энергия сродства О к двум электронам, по [3], составляет  $\approx -6.5$  эВ). Поэтому во всех оксидах большую роль должна играть ковалентная связь. В кубическом  $\text{BaTiO}_3$  маленький ион  $\text{Ti}$ , ближе других стоящий к кислороду, и будет участвовать в этой связи.

Подобно методике [1] мы будем аппроксимировать волновые функции  $2p$ -электронов кислорода  $\Phi_x$ ,  $\Phi_y$ ,  $\Phi_z$  суперпозицией его атомных функций  $\varphi_x$ ,  $\varphi_y$ ,  $\varphi_z$  (индексы  $x=x$ ,  $y$ ,  $z$  обозначают угловые их части  $x/r$ ,  $y/r$ ,  $z/r$ ) и функций  $\psi_x^\pm$ ,  $\psi_y^\pm$ ,  $\psi_z^\pm$ , ...,  $\psi_r^\pm$ , центрированных на ядрах  $\text{Ti}$ , отстоящих от кислородного атома на расстояниях  $a/2$  в направлениях координатных осей (знак «+») и в обратных (знак «-»). А именно

$$\Phi_\alpha = B [\varphi_\alpha + \delta_\alpha^\pm \psi_\alpha^\pm + \delta_\alpha^- \psi_\alpha^-], \quad \alpha = x, y, z. \quad (1)$$

Из условия нормировки

$$B^2 = 1 : \{1 + |\delta_\alpha^+|^2 + |\delta_\alpha^-|^2 + 2\delta_\alpha^+ S_\alpha^+ + 2\delta_\alpha^- S_\alpha^-\}, \quad (2)$$

где  $S_\alpha^\pm$  обозначают интегралы неортогональности  $\int \varphi_\alpha \psi_\alpha^\pm d\tau$ . Все функции полагаем вещественными. Коэффициенты  $\delta_\alpha^\pm$  считаем малыми в сравнении с единицей. Они и характеризуют долю гомеополярной связи. В [1] они определялись из условия минимума одноэлектронного гамильтониана Фока, усредненного на функции  $\Phi_\alpha$ , через значения  $S_\alpha$ . Это не совсем точно, так как этот гамильтониан сам зависит от средних зарядов ионов, т. е. от тех же коэффициентов  $\delta_\alpha^\pm$ .

Здесь мы проведем принцип минимума энергии по отношению к многоэлектронной системе и при этом будем варьировать и саму форму функций  $\psi_\alpha^\pm$  (точнее, только радиус ее состояния).

# 1. Энергия Маделунга и нулевое приближение

В табл. 1 даны ионизационные потенциалы Ba, Ti и энергии сродства кислорода к электронам. С их помощью сравним «энергии нулевого приближения» для решеток, построенных из ионов  $\text{Ba}^+$ ,  $\text{Ti}^{4+}$ ,  $\text{O}^-$  и из ионов с удвоенными зарядами. Двойная ионизация потребует дополнительной

Таблица 1

Ионизационные потенциалы Ba, Ti и энергии сродства кислорода (в эВ), по данным [3]

Атом	Степень ионизации			
	I	II	III	IV
Ba	5.21	10		
Ti	6.84	13.6	27.6	43.3
O	2.34	-8.84		

энергии  $\approx 107.42$  эВ. С другой стороны, при этом утверждается энергия Маделунга, дающая основной вклад в энергию связи решетки. Для кристалла из  $N$  молекул она равна

$$E_M = \frac{1}{2} \sum_{s, s'}' \sum_{l, l'}' \frac{e_s e_{s'}}{|r_{ss'}^{ll'}|} = \frac{Ne^2}{2a} \sum_{s, s'} \alpha_{ss'} e_s e_{s'}. \quad (3)$$

Здесь  $e_s$ ,  $e_{s'}$  — заряды ионов  $s$ -го и  $s'$ -го сортов;  $\epsilon_s = e_s/e$ ;  $a$  — ребро куба ( $\approx 3.97$  Å);  $r_{ss'}^{ll'} = r_s^l - r_{s'}^{l'}$  — радиус-вектор, соединяющий ионы сортов  $s$ ,  $s'$  в ячейках с номерами  $l$ ,  $l'$ ;  $r_s^l = r^l + r_s$ , где  $r^l = a(e_x l_1 + e_y l_2 + e_z l_3)$  — периоды решетки;  $e_x$ ,  $e_y$ ,  $e_z$  — орты осей;  $l_1$ ,  $l_2$ ,  $l_3$  — целые числа;  $r_s$  — базисные векторы

$$\begin{aligned} r_1 &= 0 (\text{Ba}), \quad r_2 = a(1/2, 1/2, 1/2) (\text{Ti}), \quad r_3 = a(0, 1/2, 1/2), \\ r_4 &= a(1/2, 0, 1/2), \quad r_5 = a(1/2, 1/2, 0) — \text{кислород}. \end{aligned} \quad (4)$$

Безразмерные коэффициенты  $\alpha_{ss'}$  ( $s$ ,  $s'$  изменяются от 1 до 5) образуют матрицу Маделунга, которую с помощью преобразования Эвальда [4] и формул (3), (4) можно представить в виде рядов

$$\alpha_{ss'} = \sum_{l_{ss'}}' \frac{1}{|l_{ss'}|} G(l_{ss'}, \sqrt{\pi}) + \frac{1}{\pi} \sum_{Q \neq 0}' \frac{e^{-\pi Q^2}}{Q^2} \exp(2\pi i Q l_{ss'}) - 2\delta_{ss'}. \quad (5)$$

Здесь  $l_{ss'} = (1/a)r_{ss'}^l$  — безразмерные векторы решетки;  $Q$  — векторы обратной решетки (в единицах  $2\pi/a$ ). Точка разбиения принята равной  $\epsilon = \sqrt{\pi}/a$ ;  $G(x) = (2/\sqrt{\pi}) \int_0^\infty e^{-t^2} dt$ . Достаточная точность в 5—6 значащих цифрах достигается, если сохранить члены с  $|l_{ss'}|^2 \leq 10$  и  $Q^2 \leq 10$ . Результаты расчетов даны в табл. 2. С ее помощью получаем при  $\epsilon_1 = 1$ ,  $\epsilon_2 = 2$ ,  $\epsilon_3 = \epsilon_4 = \epsilon_5 = -1$

$$E_M = \frac{Ne^2}{2a} [8\alpha_{11} + 4\alpha_{12} - 6\alpha_{13} - 12\alpha_{23} + 6\alpha_{34}] = -12.3776 \frac{e^2}{a} N, \quad (6)$$

что составляет в расчете на одну молекулу 44.963 эВ. При удвоении всех зарядов энергия  $E_M$  понижается на  $344.963 - 134.808 = 210.155$  эВ. Это за вычетом энергии добавочной ионизации дает выигрыш в 24.47 эВ. Поэтому в нулевом приближении следует рассматривать кристалл  $\text{Ba}^{2+}\text{Ti}^{4+}\text{O}_3^-$ . Как будет видно ниже, небольшой перенос электронного заряда от  $\text{O}^{2-}$  к  $\text{Ti}^{4+}$  приводит к понижению энергии решетки.

Таблица 2

Постоянные Маделунга  $\alpha_{ss'}$  и коэффициенты  $a_s(t)$  в выражении (11)

s	s'				
	1	2	3	4	5
1	-1.8373	0.1981	0.4175	0.4175	0.4175
2	0.1981	-1.8373	0.9041	0.9041	0.9041
3	0.4175	0.9041	-1.8373	0.4175	0.4175
4	0.4175	0.9041	0.4175	-1.8373	0.4175
5	0.4175	0.9041	0.4175	0.4175	-1.8373
$t=0$	-0.4175	1.0959	1.0023*	—	—
$1/8$	-0.3844	1.4360	0.8387	—	—
$1/4$	-0.3059	1.6940	0.3994	—	—
$3/8$	-0.2293	1.8038	-0.1718	—	—
$1/2$	-0.1981	1.8373	-0.7123	—	—

\* С учетом равенства  $\epsilon_3 = \epsilon_4 = \epsilon_5$ , соответствующие слагаемые в формуле (11) для  $V_M(t)$  объединены.

## 2. Средние заряды ионов O, Ti и потенциалы Маделунга в некоторых точках пространства

Предполагаем, что каждый из шести ионов  $O^{2-}$ , окружающих ион  $Ti^{4+}$ , в соответствии с выбором его  $2p$ -функций в виде  $\Phi_\alpha(1)$  с некоторой вероятностью отдаст свой электрон иону Ti. В то же время его свободная орбита  $4s$ -типа  $\psi_\alpha$  может принять не более двух электронов (с противоположными спинами). Кроме того, добавление второго электрона к иону  $Ti^{4+}$  в соответствии с табл. 1 понизит его энергию уже не на  $V_{IV}=43.3$ , а только на  $V_{III}=24.6$  эВ. Но происходящая отсюда ошибка будет порядка  $\delta^4$ , а присоединение третьего — порядка  $\delta^6$ , и т. д. Считая  $\delta \ll 1$ , мы этим пренебрежем.

Рассмотрим плотность вероятности для двух электронов, занимающих орбиталь  $\Phi_x$  кислородного иона  $O^{2-}$ , стоящего слева от данного иона  $Ti^{4+}$  (их спины будем различать стрелочками)

$$|\Phi_{x\uparrow}(1)|^2 |\Phi_{x\downarrow}(2)|^2 = B^4 \{ |\varphi_{x\uparrow}(1)|^2 + 2\varphi_{x\uparrow}(1) \delta_x^\pm \varphi_{x\uparrow}(1) + \\ + 2\varphi_{x\uparrow}(1) \delta_x^- \varphi_{x\uparrow}^-(1) + |\delta_x^\pm|^2 |\varphi_{x\uparrow}(1)|^2 + |\delta_x^-|^2 |\varphi_{x\uparrow}(1)|^2 \} \begin{smallmatrix} 1 \rightarrow 2 \\ \uparrow \downarrow \end{smallmatrix}. \quad (7)$$

Здесь вторая скобка отличается от первой заменой  $1 \rightarrow 2$  и  $\uparrow \rightarrow \downarrow$ . Продиведением  $|\varphi_{x\uparrow}(1)\varphi_{x\downarrow}(1)|$  пренебрегаем, так как соответствующие функции очень слабо перекрываются (их центры удалены на расстояние  $a$ ). Каждому члену произведения (7) отвечает определенное расположение электронов. Произведение  $|\varphi_{x\uparrow}(1)|^2 |\varphi_{x\downarrow}(2)|^2$  соответствует нахождению обоих электронов на ионе  $O^{2-}$ , а член  $|\varphi_{x\uparrow}(1)|^2 |\varphi_{x\downarrow}^+(2)|^2$  указывает, что один электрон находится на ионе  $O^{2-}$ , а второй на ионе  $Ti^{4+}$ . Смешанному произведению  $\varphi_{x\uparrow}(1) \varphi_{x\downarrow}^+(1)$  отвечает электрон, располагающийся «приблизительно посередине» между ионами  $O^{2-}$  и  $Ti^{4+}$ . Соответствующий заряд

$S_a^+ = \int \varphi_a(r) \psi_a^+(r) d\tau$  мы разделим пополам и отнесем его половинки ионам O и Ti. Заметим, что потенциал, создаваемый этими половинками, отличается даже в расположении ближайшего иона  $Ba^{2+}$  от потенциала «заряда на связи» всего на 4 %, и ввиду малости  $S_a^+ \leq 0.2$  соответствующей ошибки мы пренебрежем.

В табл. 3 указаны заряды на ионе кислорода, соответствующие разным членам произведения (7), числа эквивалентных слагаемых и вероятности. Пользуясь ею, перемножаем выражение последних трех столбцов и, скла-

дывая, получим следующий заряд на кислородном ионе в случае  $\delta^- = -\delta^+ = -\delta$ :<sup>1</sup>

$$\epsilon_3 = -2B^4(1 + 2\delta^2 + 6S\delta + 8S^2\delta^2 + 4S\delta^3). \quad (8)$$

Таблица 3

Слагаемые произведения (7), соответствующие заряды кислородного иона и их вероятности

Член в (7)	Его вес	Заряд	Вероятность
$ \varphi_{x\uparrow}(1) ^2  \varphi_{x\downarrow}(2) ^2$	1	-2	$B^4$
$ \varphi_{x\uparrow}(1) ^2  \psi_{x\downarrow}(2) ^2$	4	-1	$B^4\delta^2$
$ \varphi_{x\uparrow}(1) \psi_{x\uparrow}(1)   \varphi_{x\downarrow}(2) ^2$	8	-3/2	$B^4S\delta$
$ \varphi_{x\uparrow}(1) \psi_{x\uparrow}(1) \varphi_{x\downarrow}(2) \psi_{x\downarrow}(2) $	16	-1	$B^4S^2\delta^2$
$ \varphi_{x\uparrow}(1) \psi_{x\uparrow}(1)    \psi_{x\downarrow}(2) ^2$	16	-1/2	$B^4S\delta^3$
$ \psi_{x\uparrow}(1) ^2  \psi_{x\downarrow}(2) ^2$	4	0	$B^4\delta^4$

Таким образом, кислород отдает двум соседним ионам Ti электронный заряд  $e_3 = 2 + \epsilon_3$ , а каждый из ионов Ti получает от всех шести ионов кислорода заряд  $e_2 = 3(2 + \epsilon_3)$ , откуда средний заряд титана

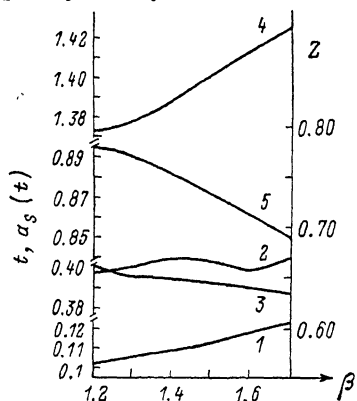


Рис. 1. Значения величин  $t$ ,  $Z$ ,  $a_s(t)$  в зависимости от обратного радиуса состояния  $\beta$  функции  $\psi_\alpha$  (кривые 1, 2, 3, 4, 5).

гося на линии O-Ti. Его координата по отношению к иону O будет обозначена как  $at$ ;  $0 < t < 1/2$ . Эта энергия за вычетом действия этих ближайших ионов обозначается как

$$V_M(t) = \frac{e^2}{a} \sum_{s=1}^5 a_s(t) \epsilon_s. \quad (11)$$

Значения коэффициентов  $a_s(t)$  даны в нижних строках табл. 2. По ним с помощью интерполяции построены кривые рис. 1.

### 3. Среднее значение гамильтониана Фока в состоянии $\Phi_\alpha$

В отличие от рассмотрения в [1] только одного электрона аниона мы будем рассматривать систему ионов  $\text{Ba}^{2+}$ ,  $\text{Ti}^{4+}$ ,  $\text{O}_3^-$  в каждой ячейке плюс  $3N$  электронов в состояниях  $\Phi_\alpha$  вида (1). В мультиплективном прибли-

<sup>1</sup> Функция  $\Phi_x$ , как и  $\varphi_\alpha$ , должна изменять знак при отражении от плоскости, перпендикулярной оси  $\alpha$ .

жении состояния каждого из электронов будет удовлетворять уравнению Хартри—Фока с гамильтонианом, который запишем в двух эквивалентных формах

$$\hat{H}_F = \hat{h}_{O^{2-}} + \sum_{sl} V_s(r - r_s) = \hat{h}_{Ti^{3+}} + \sum_{sl} V_s(r - r_s^l) + 6\hat{V}_{pp}, \quad (12)$$

где  $\hat{h}_{O^{2-}}$ ,  $\hat{h}_{Ti^{3+}}$  — операторы Фока для добавочного электрона, локализованного на ионе  $O^{2-}$  или  $Ti^{3+}$ ;  $V_s(r - r_s)$  — потенциал иона  $s$ ,  $l$ . В одном случае исключается потенциал кислорода, в другом — титана.  $\hat{V}_{pp}$  обозначает псевдопотенциал отталкивания электрона в состоянии  $\psi_\alpha^\pm$  от оболочки одного из шести ближайших ионов  $O^{2-}$ , поскольку перекрытием  $\varphi_\alpha$  и  $\psi_\alpha^\pm$  уже нельзя пренебрегать. Для среднего значения гамильтониана  $\hat{H}_F$  на состояниях (1) мы после интегрирования аналогично [1] получим

$$H_F = \int \Phi_\alpha \hat{H}_F \Phi_\alpha d\tau = B^2 \{ C + D [ |\delta_\alpha^+|^2 + |\delta_\alpha^-|^2 ] + 2\mathcal{E} [ S_\alpha^+ \delta_\alpha^+ + S_\alpha^- \delta_\alpha^- ] \} + O(\delta_\alpha^+ \delta_\alpha^-). \quad (13)$$

Остаток содержит кроме произведения  $\delta_\alpha^+ \delta_\alpha^-$  еще интеграл перекрытия функций  $\psi_\alpha^+$  и  $\psi_\alpha^-$ , которым можно пренебречь. Здесь

$$C = -J + V_M(3) + \Delta V_M(3), \quad D = -V_{IV} + V_M(2) + 6 \langle \psi_\alpha | \hat{V}_{pp} | \psi_\alpha \rangle + \frac{2e^2}{a} (\varepsilon_3 + 1),$$

$$\mathcal{E} = -V_{IV} - \frac{4e^2}{a} Z + V_M(1) + \langle \psi_\alpha | \hat{V}_{pp} | \psi_\alpha^+ \rangle / S_\alpha^+, \quad (14)$$

Слагаемое  $(2e^2/a)(\varepsilon_3 + 1)$  возникает в  $D$  вследствие того, что для электрона, перешедшего от одного из ионов  $O^{2-}$  на ион  $Ti^{4+}$ , первый представляется уже не с зарядом  $\varepsilon_3$  (с которым он дал вклад в  $V_M(2)$  (12)), а с зарядом  $-1$ . Поправочное слагаемое в  $C$  обязано тому, что если данный электрон остался на ионе  $O^{2-}$ , то его два ближайших соседа  $Ti$  «недополучили» электронный заряд  $\varepsilon_2 = 2 + \varepsilon_3$ . Поэтому энергия электрона в поле окружения  $V_M(3)$  окажется пониженней на  $\Delta V_M(3) = (-2e^2/a)(2 + \varepsilon_3)$ . Коэффициент  $Z$  определяется равенством

$$\int \psi_\alpha^+ \tilde{V}_3(r - r_3) \varphi_\alpha d\tau = -\frac{4e^2}{a} Z S_\alpha^+, \quad (15)$$

где  $\tilde{V}_3(r - r_3)$  — потенциал электрона в поле иона  $O^{2-}$ .

#### 4. Атомные функции и псевдопотенциал отталкивания

Для дальнейших расчетов нам не обойтись без знания атомных функций  $\psi_\alpha$ , а также  $2s$ - и  $2p$ -функций кислородного иона. Для последнего мы воспользовались данными таблиц Братцева [5], которые хорошо аппроксимируются формулами (в атомных единицах)

$$\varphi_{2s} = A_s (0.28 - r) e^{-2.5r}, \quad A_s^2 = 3125/4\pi \cdot 11.12, \quad \varphi_{2p} = A_p x_\alpha e^{-1.77r}, \quad A_p^2 = 1.77^5/\pi. \quad (16)$$

Псевдопотенциал  $\hat{V}_{pp}$  удобно брать в форме Гомбаша [6]. Если  $\rho(r)$  — электронная плотность, то в приближении Томаса—Ферми заняты все состояния «свободных» электронов в пределах Ферми-сферы радиуса  $K_F = [3\pi^2 \rho(r)]^{1/3}$ . Поэтому при попадании дополнительного электрона в точку  $r$  его энергия должна увеличиться на  $(\hbar^2/2m)K_F^3 = (\hbar^2/2m)[3\pi^2 \rho(r)]^{1/3}$  (в атомных единицах  $\hbar = m = 1$ ). Оболочка иона  $O^{2-}$  ( $2s^2(2p)^6$ , согласно (16), создает плотность

$$\rho(r) = \frac{2}{\pi} 1.77^5 e^{-3.54r} r^2 \left\{ 1 + 4.04407 e^{-1.46r} \left( \frac{0.28}{r} - 1 \right)^2 \right\}. \quad (17)$$

При интегрировании  $\rho^{2/3}$  между функциями  $\psi_\alpha^+$  и  $\varphi_\alpha$  мы применили разложение бинома Ньютона с сохранением первых трех членов (начиная от

единицы!) и при этом пренебрегли слагаемыми с  $0.28^3$  и  $0.28^4$ . Для  $4s$ -функции иона  $\text{Ti}^{3+}$  мы использовали приближение Слейтера [7]

$$\psi_\alpha = Ar'^3 e^{-\beta r'}, \quad A^2 = \beta^3 / 315\pi. \quad (18)$$

По правилу [7], для  $4s$ -электрона  $\beta_0 = 1.4$  а. е. (строго говоря, следовало бы брать  $(r')^{2.8}e^{-1.3r'}$ , что практически мало отличается от (18), но очень затруднило бы расчеты). По этому же правилу  $\tilde{V}_3(r) = -0.05/r$ . И это значение мы использовали для нахождения величины  $Z$  (15). Кроме расчетов с  $\beta_0 = 1.4$ , мы проделали расчеты и для других значений  $\beta = k\beta_0$ , считая  $\beta$  вариационным параметром. Из соображений размерности при этом ки-

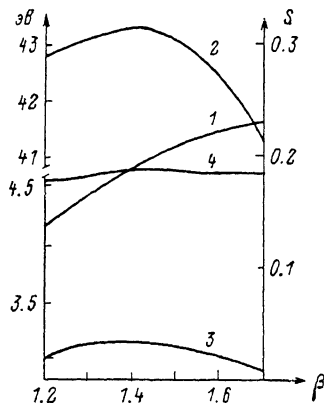


Рис. 2. Зависимость от  $\beta$  величин  $S$  (1),  $V_{IV}$  (2),  $\langle \psi_\alpha | V_{III} | \psi_\alpha \rangle \cdot \delta$  (3) и  $\langle \psi_\alpha | V_{III} | \psi_\alpha \rangle$  (4).

нетическая энергия в состоянии  $\psi_\alpha$  изменяется как  $k^2$ , а потенциальная — как  $-2k$ . Поэтому изменится четвертый потенциал ионизации

$$V_{IV} \rightarrow V_{IV}(\beta) = V_{IV}(2k - k^2). \quad (19)$$

С изменением  $k$  меняются положение  $t$  точки максимума произведения  $\psi_\alpha \psi_\alpha^*$ , а также значения интеграла неортогональности  $S$ , величин  $z$ ,  $a_s$  и интегралов от псевдопотенциала. На рис. 1 в зависимости от обратного радиуса состояния  $4s$ -электрона, т. е.  $\beta$ , даны значения величины  $t$ ,  $z$ ,  $a_s(t)$ . Рис. 2 дает зависимости от  $\beta$  величин  $S$ ,  $V_{IV}(\beta)$ ,  $\langle \psi_\alpha | V_{III} | \psi_\alpha \rangle \cdot \delta$ ,  $\langle \psi_\alpha | V_{III} | \psi_\alpha \rangle$ . На этом основании можно получить одноэлектронные энергии  $\min H_F$ , а затем и полную энергию решетки.

## 5. Одноэлектронные энергии, получаемые из условия минимума среднего значения функционала Фока

Подстановка найденных величин в формулы (14) позволяет найти одноэлектронные энергии, соответствующие минимуму  $H_F$  (13). Для каждого из значений параметра  $\beta$  в интервале 1.2—1.8 а. е. были вычислены все величины (14) и минимум среднего гамильтониана  $H_F$  (13) по отношению к параметру  $\delta$ . При этом мы полагали, что  $\delta^- = -\delta^+ = -\delta$ . На рис. 3 приведены  $\beta$ -зависимости  $\delta$ ,  $\min H_F$ , а также средних зарядов  $\varepsilon_2$  и  $\varepsilon_3$ . Видно, что  $\min H_F$  и оптимальное значение коэффициента смешивания  $\delta$  достигаются приблизительно при  $\delta \approx 1.575$ . При этом  $\delta$  оказывается близким к своему максимальному значению, а  $\varepsilon_2$ ,  $\varepsilon_3$  близкими к своим минималь-

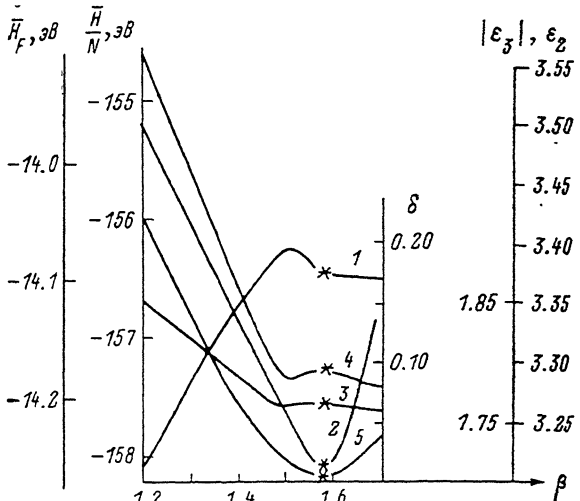


Рис. 3. Зависимость от величины  $\delta$  (1)  $\min H_F$  (2) и средних зарядов  $\varepsilon_3$  (3)  $\varepsilon_2$  (4), а также полной энергии системы  $H$  в расчете на одну молекулу (5).

ным значениям. Это не дает, однако, основания считать их «истинными», так как мы сравнивали только одноэлектронные энергии, а нужно искать минимум полной энергии кристалла.

## 6. Энергии отталкивания остовов и электронов и полная энергия решетки

Наш гамильтониан Фока  $H_F$  (12) содержит потенциальную энергию каждого электрона в поле всех остовов и прочих электронов (при желании сюда можно прибавить и энергию обмена). Произведение  $3N\bar{H}_F$  содержит удвоенную энергию межэлектронного отталкивания. Поэтому, чтобы получить полную энергию кристалла, нужно прибавить к этой величине энергию отталкивания остовов (их заряды, как уже говорилось, есть  $z_1=2$ ,  $z_2=4$ ,  $z_3=z_4$ ,  $z_5=-1$ ) и вычесть энергию электрон-электронного отталкивания. Эти величины приблизительно компенсируются. (Поэтому теоретики иногда ограничиваются рассмотрением только суммы одноэлектронных энергий). Однако эта компенсация из-за разного расположения зарядов  $z_s$  и электронов не является полной. Чтобы правильно рассчитать разность двух бесконечно больших при  $N \rightarrow \infty$  величин, мы сначала заменим кулоновские потенциалы  $z_s/r$  более быстро убывающими функциями  $(z_s/r)e^{-\gamma^2 r^2}$  и рассчитаем для них маделунговские энергии вида (3), а в конце положим, что  $\gamma \rightarrow 0$ ; после выполнения преобразования Эвальда мы увидим, что во всех членах эвальдовских сумм с  $l_{ss'} \neq 0$ ,  $Q \neq 0$  предельный переход  $\gamma \rightarrow 0$  даст как раз те значения, которые приводят к матрице Маделунга  $\alpha_{ss'}$  (5). Но каждая из систем, обладая зарядом (бесконечным при  $N=\infty$ ), будет содержать в сумме по обратной решетке член с  $Q=0$ . Он равен, как нетрудно видеть  $(2\pi/\Omega)(1/\gamma^2) \sin \operatorname{arctg}(\varepsilon/\gamma)$ . Но, поскольку кристалл нейтрален, эти слагаемые в обеих энергиях скрываются и мы получим для полной энергии выражение

$$\bar{H} = 3N \min \bar{H}_F + \frac{Ne^2}{a} \sum_{ss'} \alpha_{ss'} [z_s z_{s'} - (z_s - \varepsilon_s)(z_{s'} - \varepsilon_{s'})] \quad (20)$$

(наши  $3N$  электрона образуют как раз заряды  $z_s - \varepsilon_s$  на каждом узле).

Кривая 5 (рис. 3) — зависимость от  $\beta$  величины  $\bar{H}/N$ , даваемой формулой (20). Мы видим, что  $\min \bar{H}$  немного сдвинут в сторону больших  $\beta$  по сравнению с  $\min H_F$ . Звездочки указывают «истинные» значения величин  $\delta$ ,  $\varepsilon_2$ ,  $\varepsilon_3$ ,  $\bar{H}$ . При этом функция  $\psi_\alpha$  оказывается заметно «сжатой» по сравнению со слейтеровской функцией (18), степень сжатия  $k=1.125$ . Заметное отклонение соединения от строгой гетерополярности (заряды  $\varepsilon_2$  и  $\varepsilon_3$  на  $-0.7065$  и  $+0.2355$  отличаются от исходных  $4$  и  $-2$ ) обязано приближительному выполнению условия квантовомеханического резонанса между ионным и неполярным состояниями. (Энергия, требуемая для обратного перехода электрона от  $O^{2-}$  к катиону  $Ti^{4+}$ , относительно невелика).

Автор выражает благодарность С. В. Беспаловой и А. А. Гусеву, оказавших помочь в довольно громоздких расчетах.

## Список литературы

- [1] Толпиго К. Б. // ФТТ. 1987. Т. 29. № 10. С. 2908—2912.
- [2] Толпиго К. Б. // Изв. АН СССР, сер. физ. 1960. Т. 24. С. 192—201.
- [3] Landolt-Börnstein. Zahlenwerte und Functionen. Teil I. Atomen und Ionen. Berlin; Göttingen; Heidelberg: Springer Verlag, 1950.
- [4] Ewald P. P. // Ann. d. Phys. 1921. V. 64. P. 258.
- [5] Братцев В. Ф. Таблицы атомных волновых функций. М.: Наука, 1966. 192 с.
- [6] Гомбаш М. Проблема многих частиц в квантовой механике. М.: ИЛ, 1953. 276 с.
- [7] Slater J. C. // Phys. Rev. 1930. V. 36. P. 57.